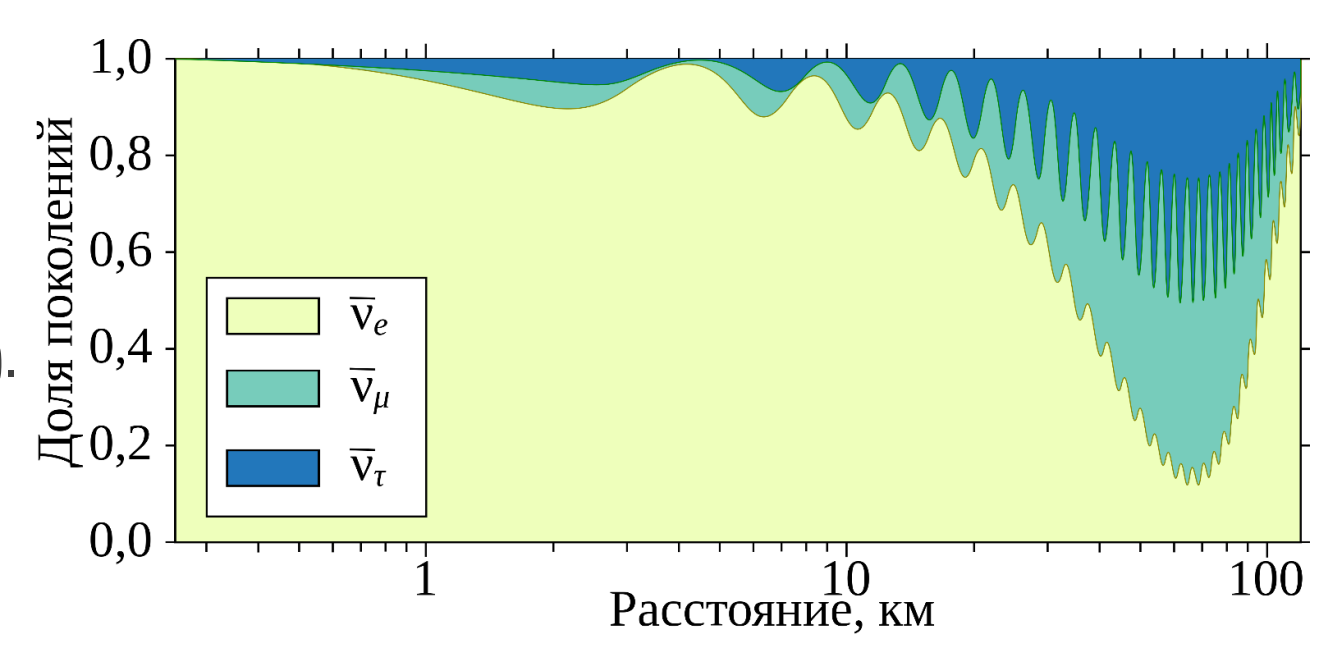
Изучение энергетического разрешения и эффективности восстановления событий с помощью Монте-Карло модели модернизированного эксперимента DANSS

ЮСКО ЕВГЕНИЙ, M24-114 НАУЧНЫЙ РУКОВОДИТЕЛЬ— АЛЕКСЕЕВ И. Г.

# Нейтрино и нейтринные осцилляции

- •Стандартная модель содержит 3 аромата нейтрино:  $\nu_e$ ,  $\nu_\mu$  и  $\nu_\tau$ .
- •Очень малые массы.
- •Только слабое взаимодействие.
- •Аромат может изменяться при движении (нейтринные осцилляции).
- •Частота осцилляций зависит от разности квадратов масс:
  - $\Delta m_{21}^2 = (7.53 \pm 0.18) \cdot 10^{-5} \, \text{gB}^2$
  - $|\Delta m_{32}^2| = (2.15 \pm 0.05) \cdot 10^{-3} \text{ sB}^2.$

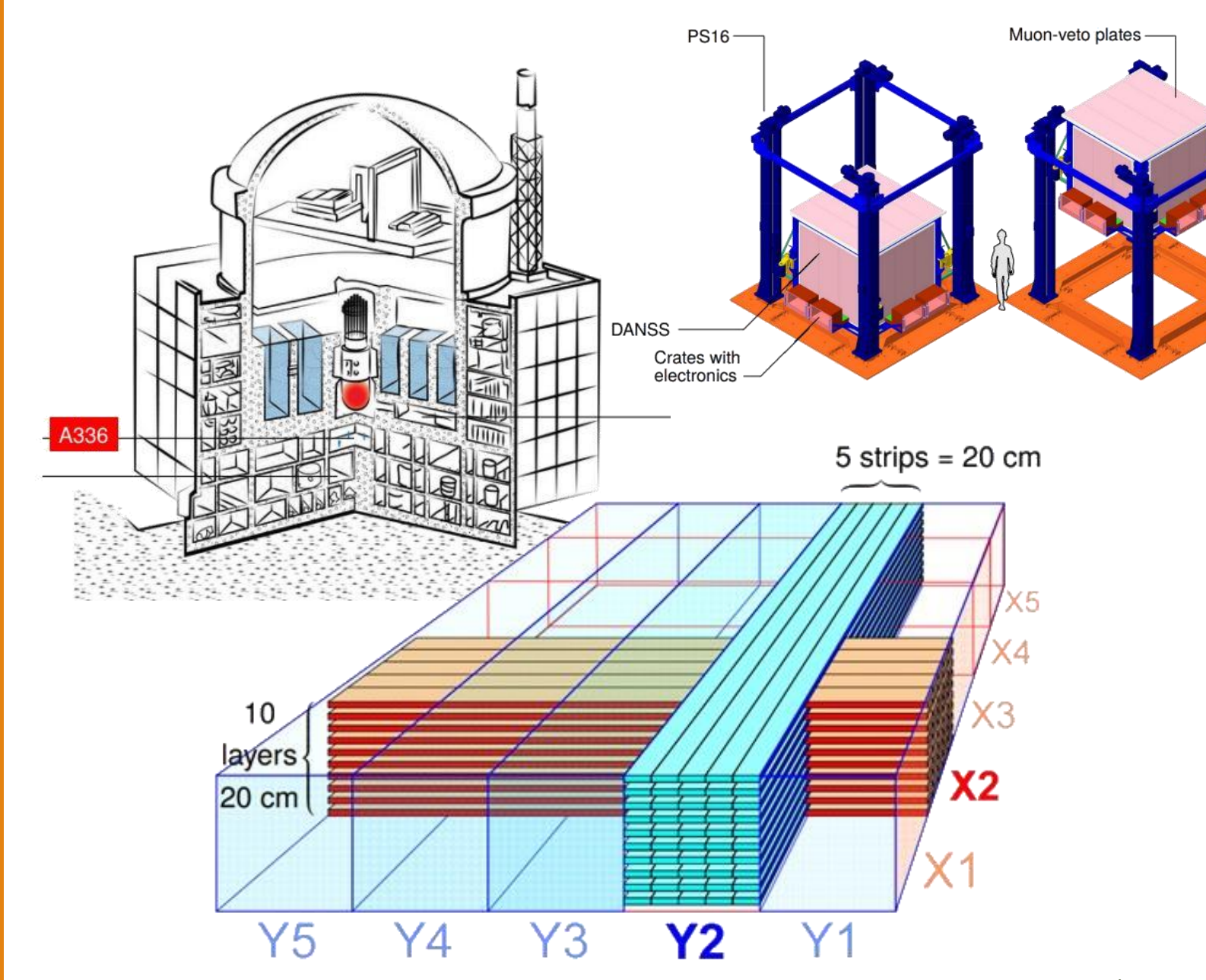


## Стерильное нейтрино

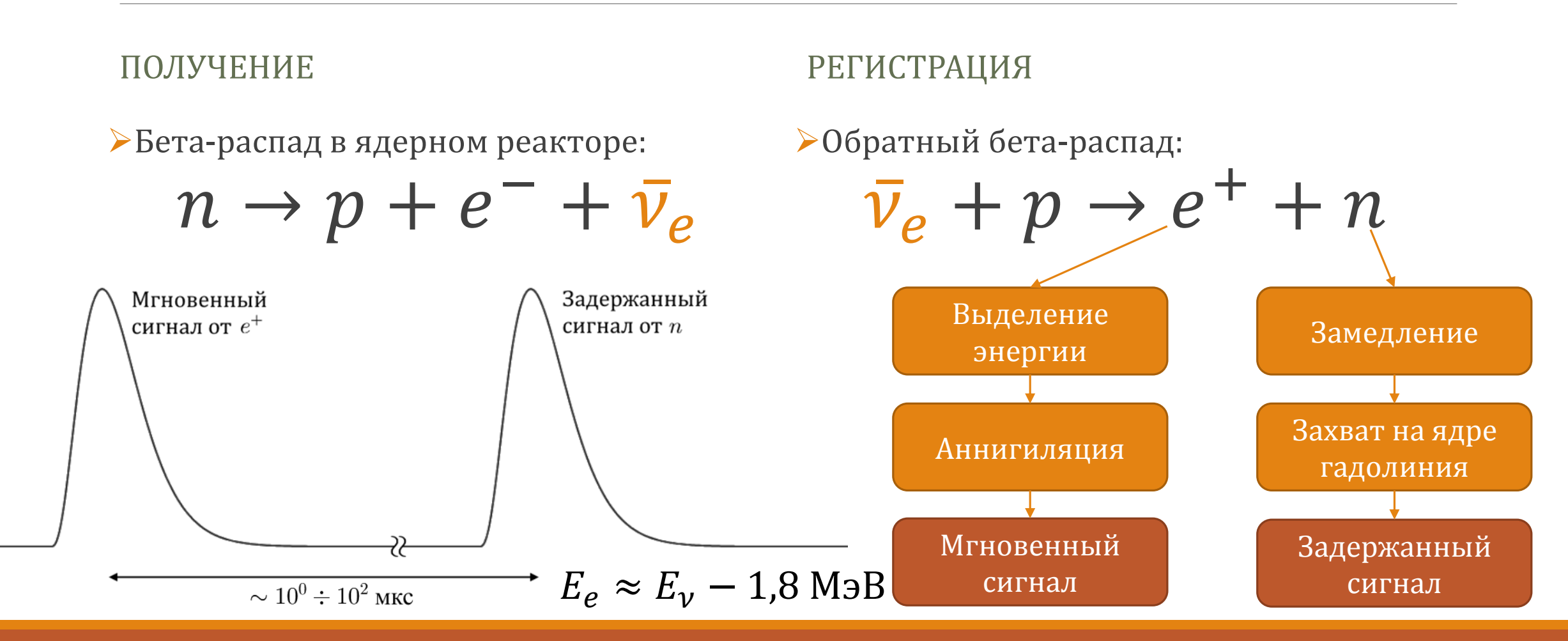
- •Гипотетический 4-й аромат.
- •Не участвует даже в слабом взаимодействии.
- •Принимает участие в осцилляциях.
- •Предложен для объяснения аномальных результатов некоторых экспериментов.
  - <u>LSND, MiniBooNE, MicroBooNE</u>: появление  $\bar{\nu}_e$  в пучках  $\bar{\nu}_\mu$ . Значимость 3,8 $\sigma$ , 4,8 $\sigma$  и 2,4 $\sigma$  соответственно.
  - <u>Галлиевая аномалия (GALLEX, SAGE и BEST)</u>: недостаток  $\nu_e$  по сравнению с теоретическими предсказаниями. При объединении результатов значимость  $> 5\sigma$ .
  - *Neutrino-4*: недостаток реакторных  $\bar{\nu}_e$ . Значимость  $< 3\sigma$ .
- •Следует отметить, что есть и множество экспериментов, не наблюдающих никаких аномалий в осцилляциях.

### Эксперимент DANSS

- Размещён под одним из реакторов Калининской АЭС.
- Чувствительный объём 1 × 1 × 1 м<sup>3</sup>, составленный из 2500 стрипов из пластикового сцинтиллятора.
- Подвижная платформа позволяет изменять расстояние до реактора в пределах 10,9 ÷ 12,9 м.
- ФЭУ + КФУ

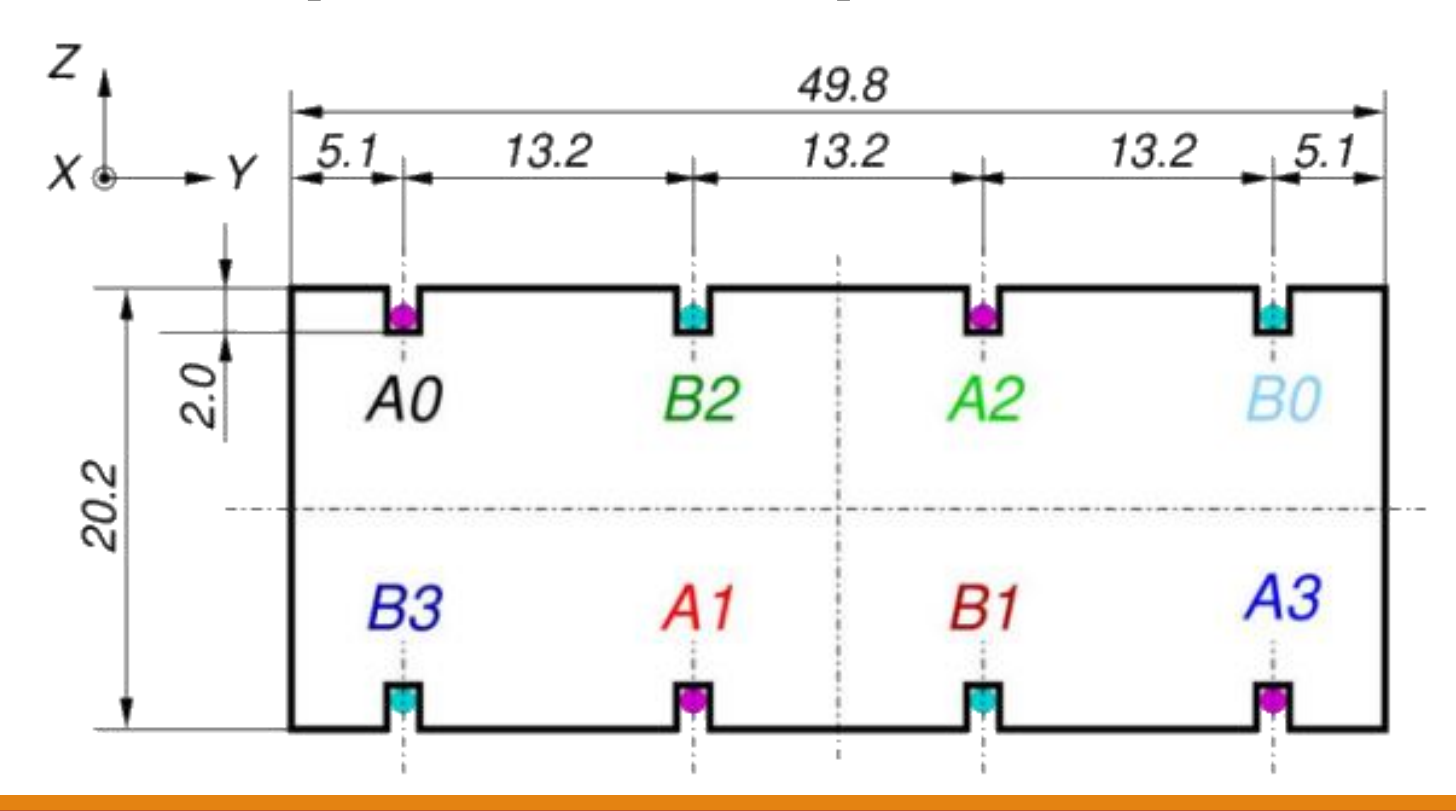


# Получение и регистрация нейтрино



## DANSS после модернизации

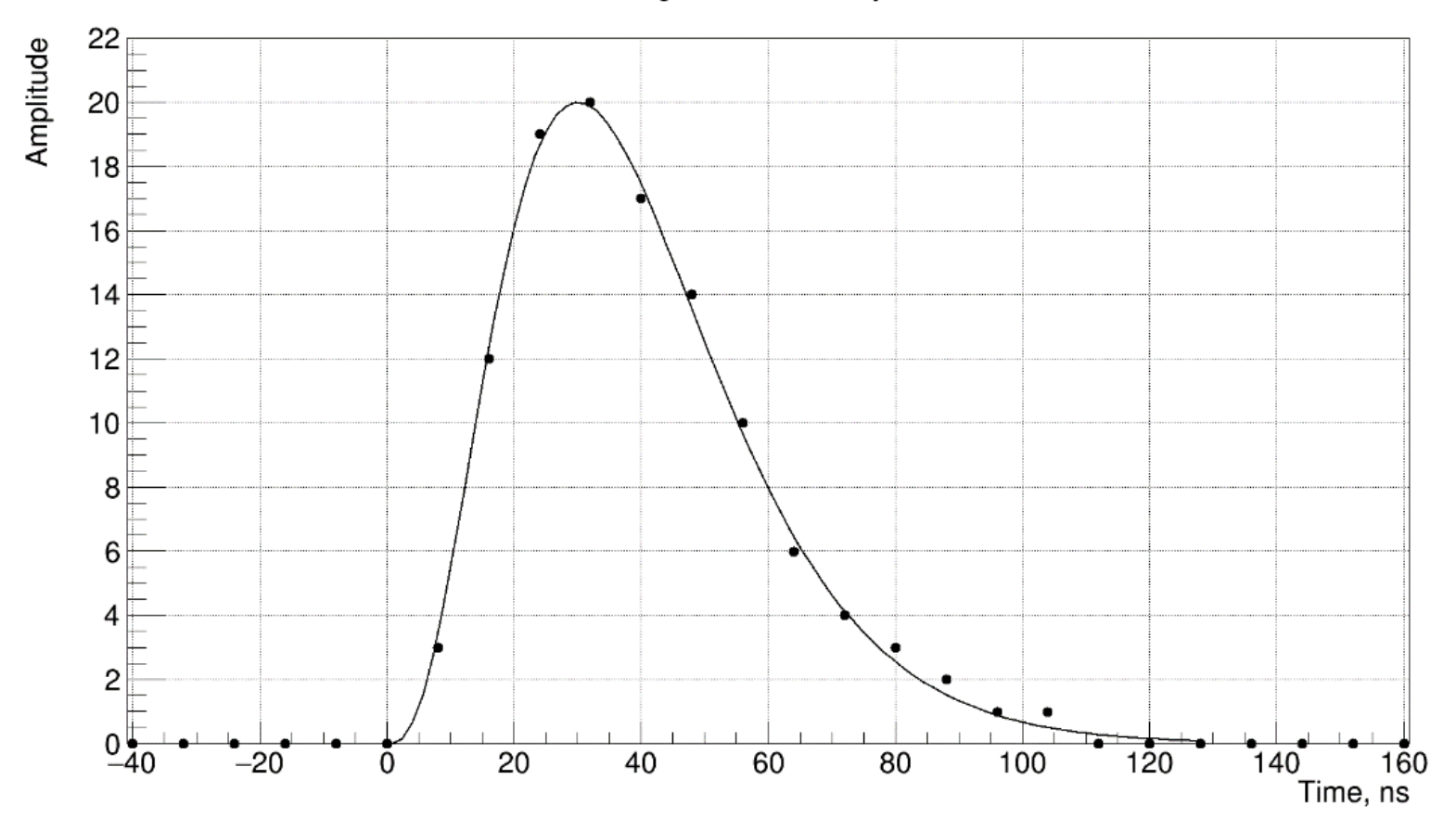
•В настоящее время идёт процесс модернизации детектора.



- •Чувствительный объём  $1,2 \times 1,2 \times 1,2 \text{ м}^3$ .
- •60 слоёв по 24 стрипа размером  $2 \times 5 \times 120 \text{ см}^3$ .
- •Только КФУ.
- •Просмотр стрипов с обеих сторон, что позволяет по разнице времён на двух концах определять продольную координату.

## Монте-Карло → бинарный файл

### The signal of one photon

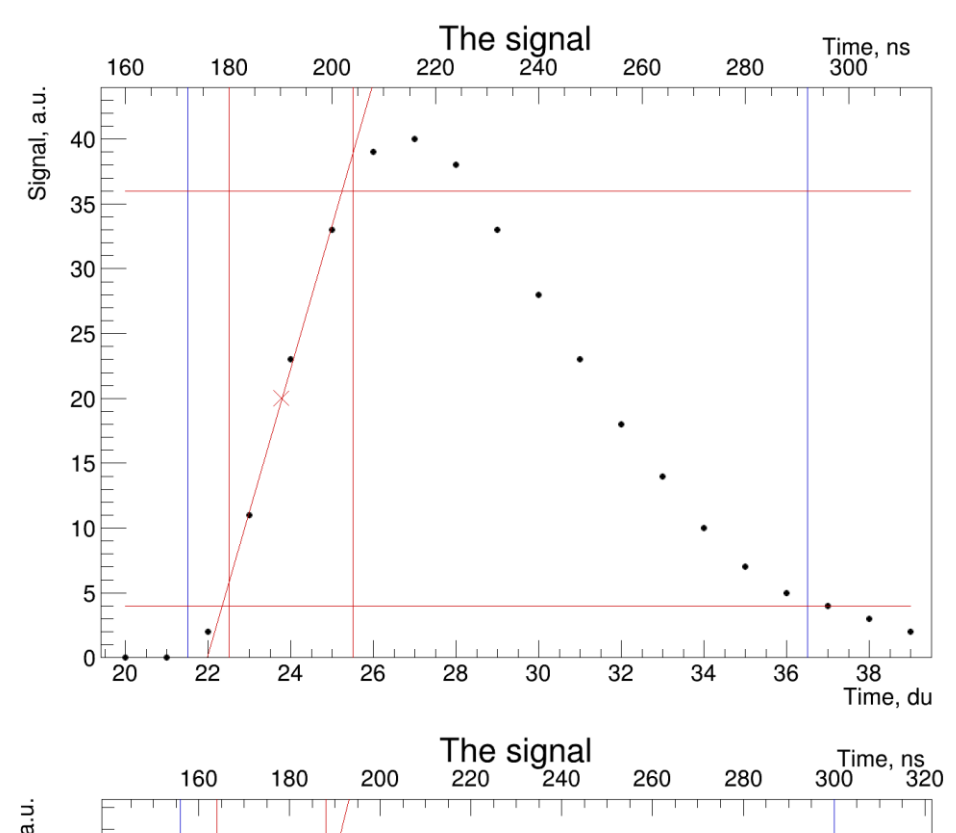


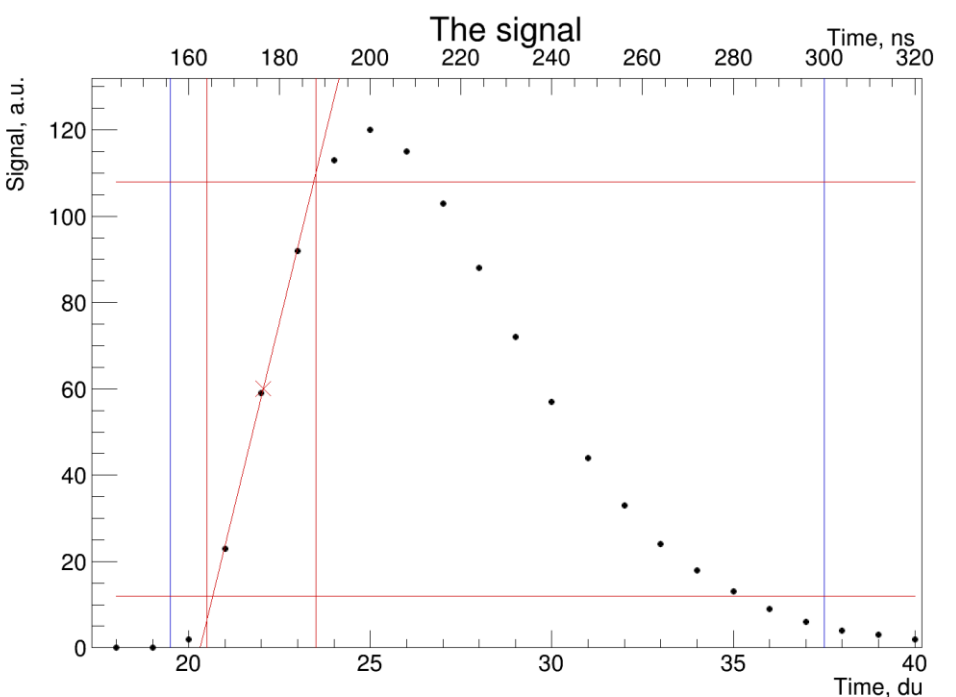
Бинарный файл состоит из отдельных записей, хранящих по 512 нс оцифрованного сигнала с обоих концов стрипа.

## **Анализ** импульсов

Записи поочерёдно просматриваются, в них выделяются импульсы. Для каждого импульса определяются основные параметры:

- амплитуда;
- интеграл;
- время импульса (по пересечению фронта с половиной амплитуды);
- интеграл (энергия).









## Выделение триггеров

•Под триггером понимается группа близко лежащих импульсов.

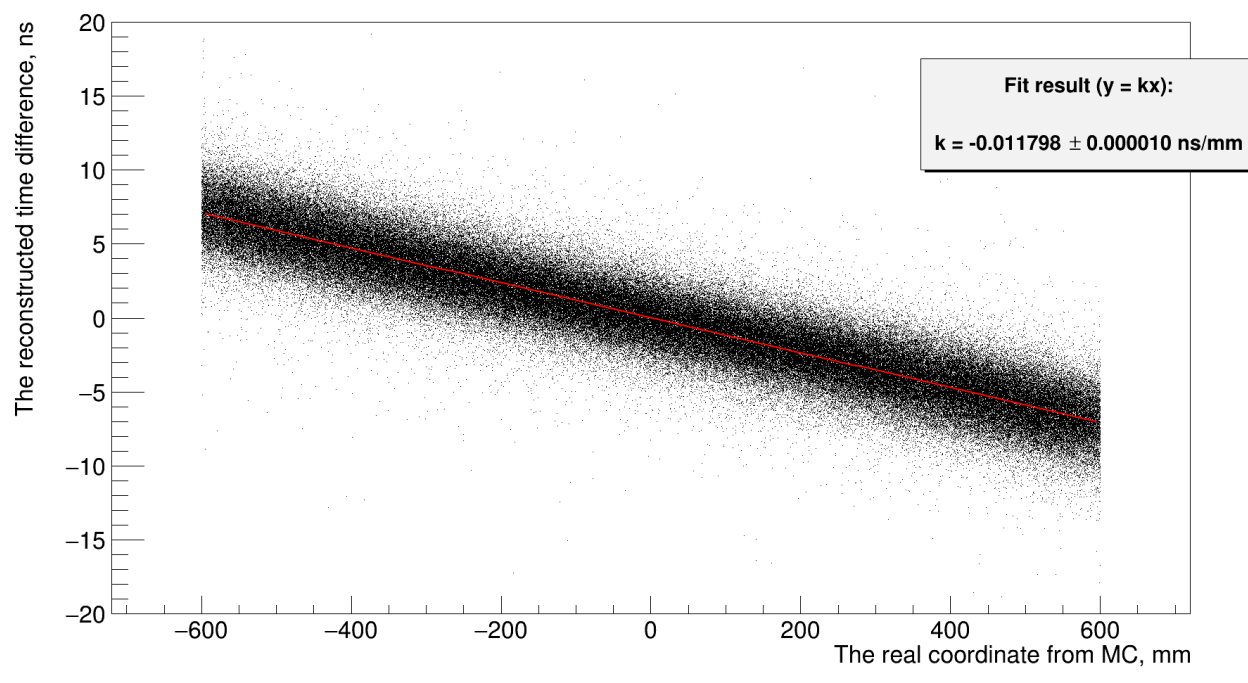
- •Первый импульс создаёт первый триггер.
- •В этот триггер включаются все импульсы, попадающие во временное окно триггера фиксированной ширины (300 нс), начинающееся с первым импульсом.
- •Первый импульс, не попадающий в окно, создаёт следующий триггер.

•В идеальном случае каждому событию ОБР должны соответствовать два триггера: позитронный и нейтронный.

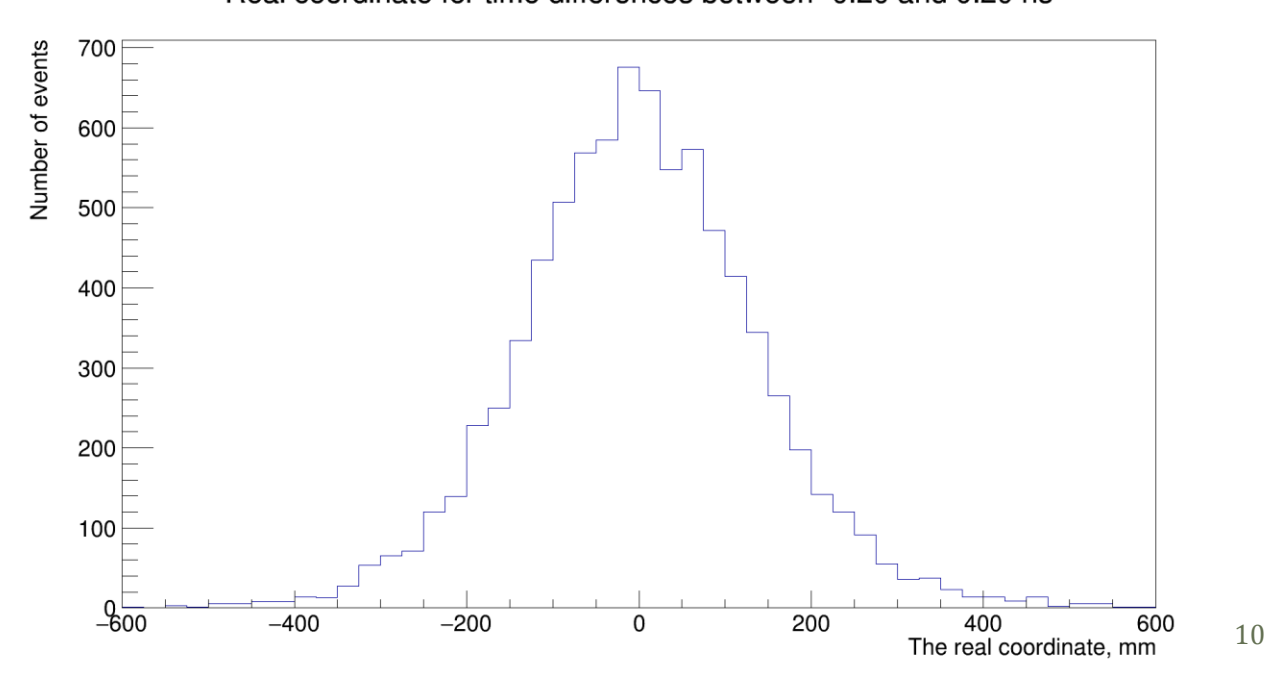
### Затухание и продольная координата

- Для более точного восстановления энергии следует учитывать затухание.
- Поправка, связанная с затуханием, зависит от продольной координаты.
- Продольную координату можно определить по разности времён сигналов на двух концах стрипа.

#### Time difference & real coordinate



Real coordinate for time differences between -0.20 and 0.20 ns

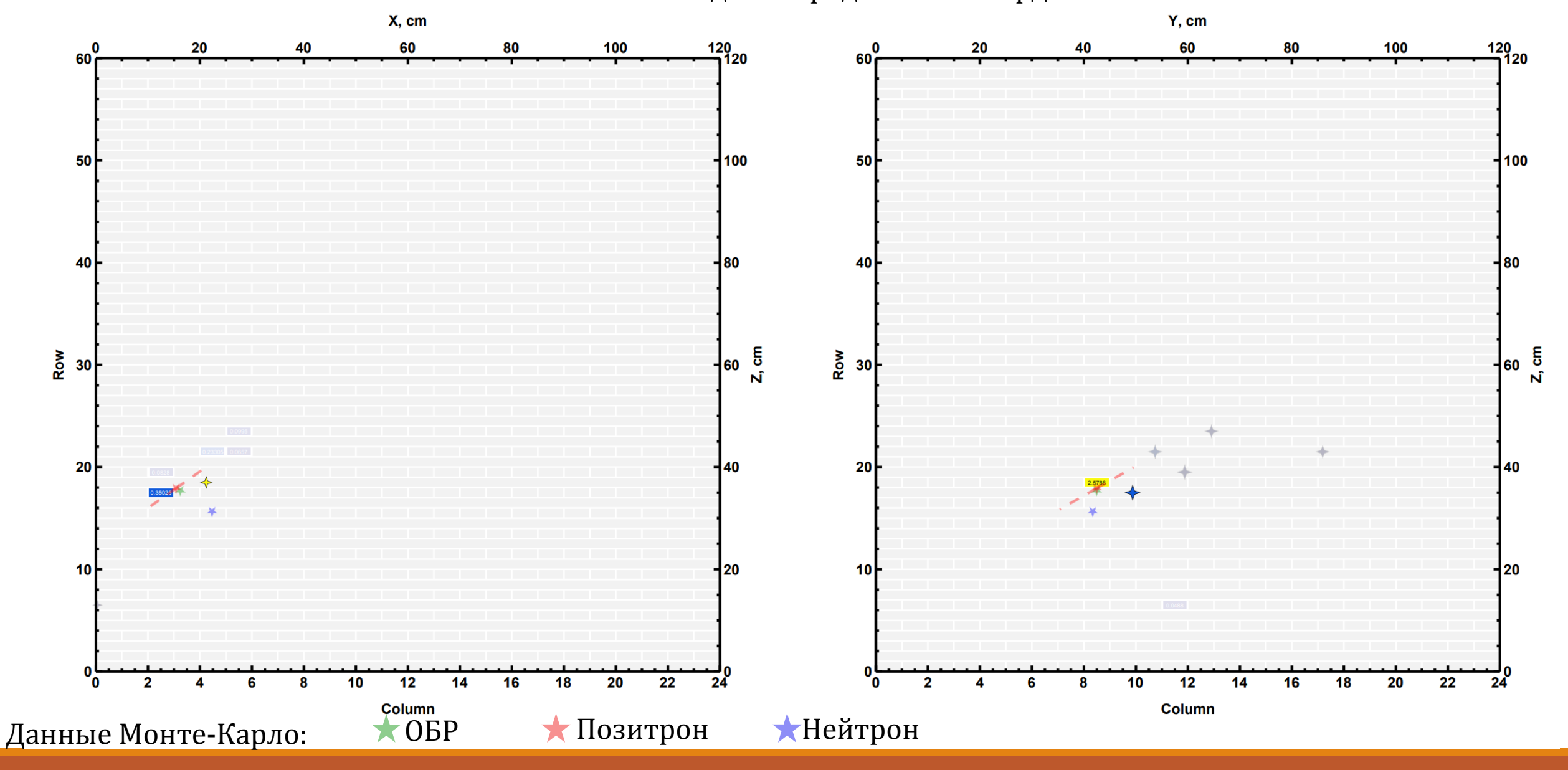


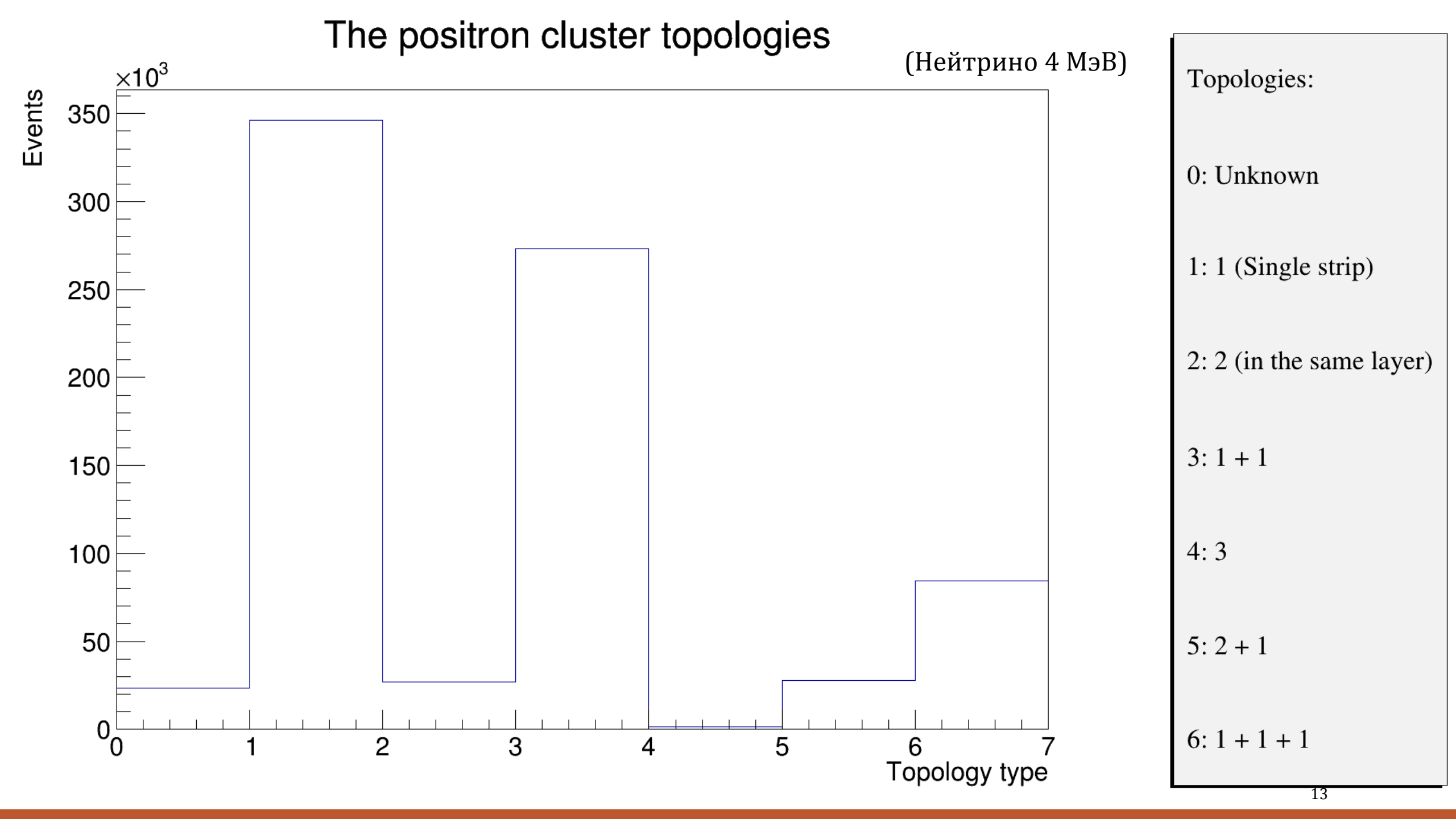
# Выделение позитронного кластера

• В позитронный триггер входит не только сигнал от позитрона, но и сигналы от аннигиляционных гамма-квантов.

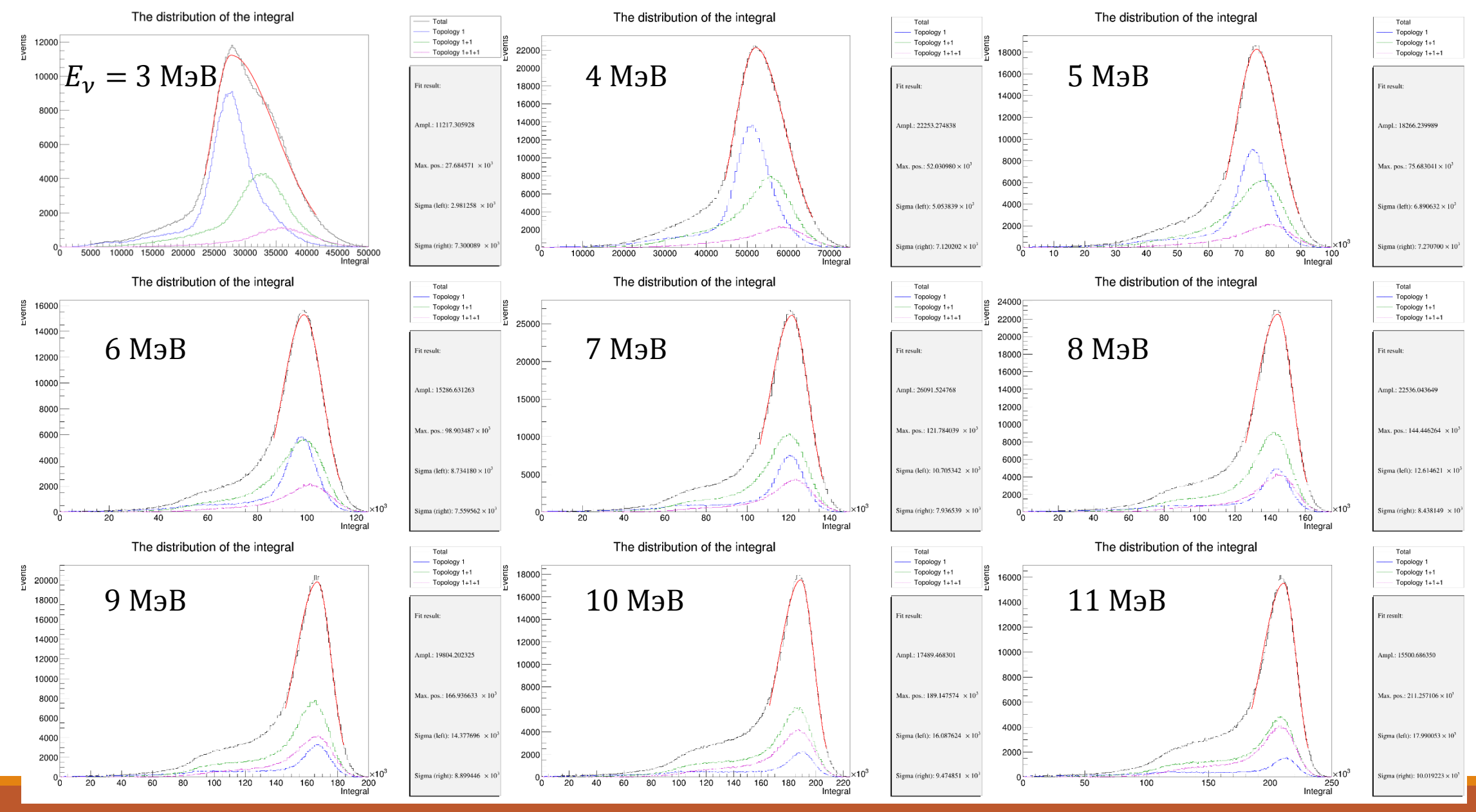
- Необходимо выделить часть сигнала, относящуюся к позитрону позитронный кластер.
- Стрип с максимальным энерговыделением + ближайшие к нему стрипы.
- Между стрипами кластера не должно быть стрипов без энерговыделения.
- Сигналы в соседних стрипах должны быть достаточно близко друг к другу (с учётом продольной координаты).

Визуализация позитронного триггера одного из событий; выделенные стрипы — позитронный кластер, 4-конечные звёзды — продольные координаты.





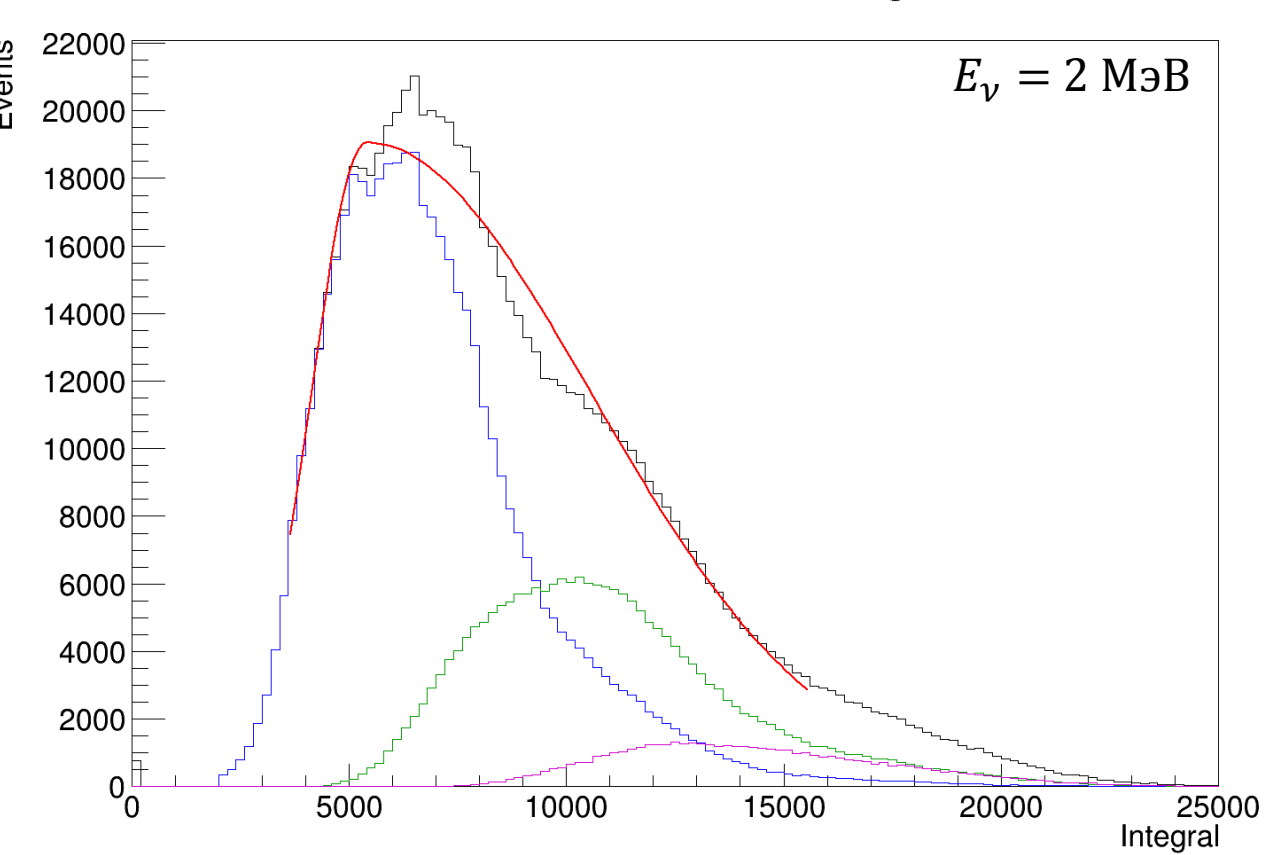
### Интеграл позитронного кластера (моноэнергетические нейтрино)



### Интеграл позитронного кластера

Различные распределения для разных топологий: вероятно, недостаточно эффективное разделение позитрона и гамма-квантов.

#### The distribution of the integral



Fit result:

Ampl.: 19050.992196

Max. pos.:  $5.402696 \times 10^3$ 

Sigma (left):  $1.272526 \times 10^{3}$ 

Sigma (right):  $5.210685 \times 10^{3}$ 

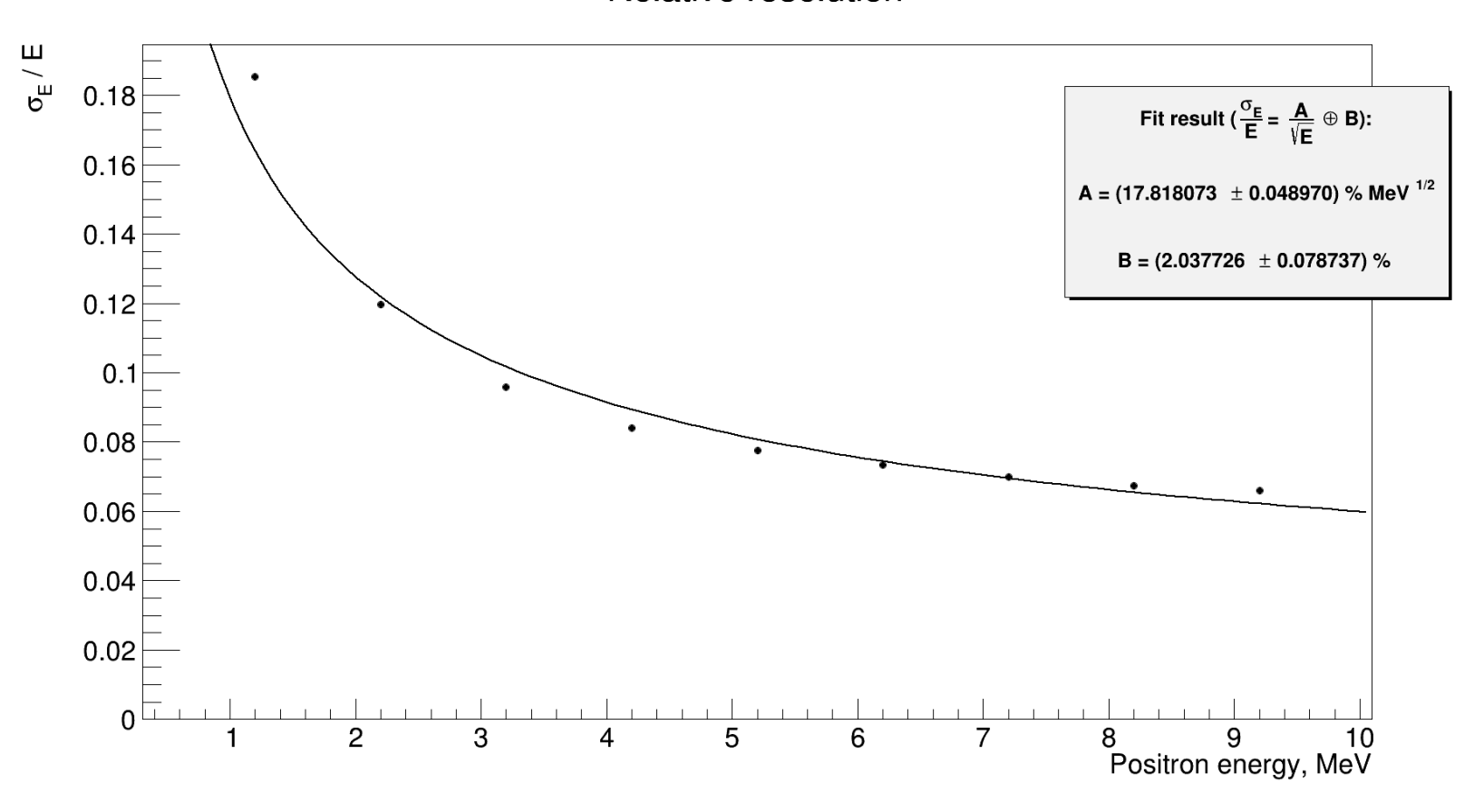
$$f(x; A, x_0, \sigma_1, \sigma_2) = \begin{cases} A \exp\left(-\frac{(x - x_0)^2}{2\sigma_1^2}\right), x < x_0, \\ A \exp\left(-\frac{(x - x_0)^2}{2\sigma_1^2}\right), x \ge x_0 \end{cases}$$

## **Энергетическое** разрешение

- Распределения интегралов позитронных триггеров для моноэнергетических нейтрино от 3 до 11 МэВ аппроксимировались несимметричной функцией Гаусса.
- По результатам подгонки была получена грубая оценка энергетического разрешения детектора:

$$\frac{\sigma_E}{E} = \frac{18 \%}{\sqrt{E \text{ [M$\circ}B]}} \oplus 2.0 \%.$$

#### Relative resolution



### Заключение

- •Была написана программа, которая на основе Монте-Карло создаёт модель сигнала детектора.
- •Был разработан алгоритм для выделения среди сигналов позитронного кластера.
- •По результатам анализа была получена грубая оценка энергетического разрешения детектора (по отношению к энергии позитрона):

$$\frac{\sigma_E}{E} = \frac{18 \%}{\sqrt{E \text{ [M$\text{\text{9}B}]}}} \oplus 2.0 \%.$$

•Анализ полученных данных указывает на недостаточно эффективное отделение позитрона и гамма-квантов. В дальнейшем планируется усовершенствование алгоритма.

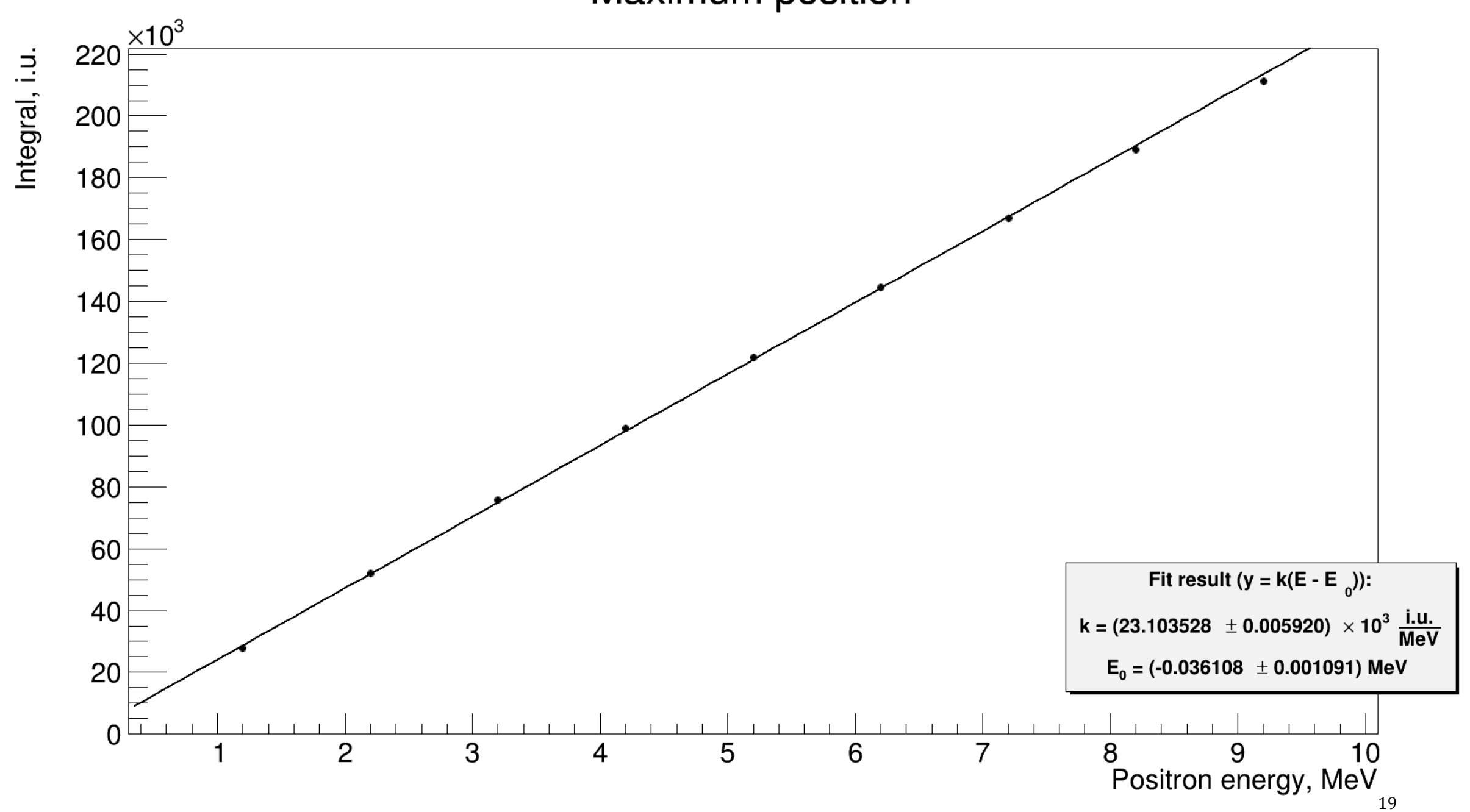
## Моделирование сигнала

- Монте-Карло: Бинарный файл:
- •Nº сработавшего фотоумножителя;
- •величина зарегистрированного сигнала;
- •момент времени.

- •Разделён на записи.
- •Каждая запись хранит:
  - время начала записи;
  - № стрипа;
  - 2 оцифрованных сигнала с 2 концов стрипа.
- •Частота оцифровки 125 МГц.
- •Длительность записи 512 нс.

Каждый зарегистрированный фотон создаёт импульс, описывающийся выражением  $f(t) = A_0 \exp(3(1 + \ln \xi - \xi)),$ 

### Maximum position



Sigma

